

### III-165 複合地盤解析の一考察

○ 不動建設 正会員 一本 英三郎  
 ◇ ◇ 田口 荘一  
 ◇ ◇ 安部 豊彦

#### 1. まえがき

軟弱粘性土地盤中によく締固められた砂柱を打設し、砂柱に一種の杭効果と圧密排水効果を期待するサンドコンパクションパイル工法について、約20年間、各種の室内、現場実験および実際の施工に従事し、砂柱と粘性土地盤からなる、川ゆきの複合地盤の性状の検討を行なってきました。しかし、この複合地盤の取扱いは、土の応力へひずみ関係など、土性のすべての要素が解明されない限り、その運動の機構を明確化することができます。また従来の応力からの設計だけでは、材質の異なる複合地盤の解析はなかなか困難である。

土の応力へひずみ関係は、もともと土の基本的な問題であり、近年活発な研究成果が得られてはいるとはいえ、いままだ決定的なものは見当たらず、複合地盤の取扱いに苦慮しちつゝあるが、実際にこの種の地盤処理にたずさわり、土の応力へひずみ関係を考慮する必要性を感じるものとして、数多くの施工実績をもつ強味を生かし、たとえそれが、近似的ではあっても実用上差支えなく、しかも基本的な考え方において大過なきものならば許容されるであろうと考え、以下のようを検討してみた。

#### 2. 複合地盤の解析について

砂柱と粘性土地盤からなる複合地盤において、複合地盤のせん断抵抗は、

$$Z_{sc} = (1-F_v) \cdot C + [\pi \cdot \gamma / \{1 + (\eta - 1) \cdot F_v\} + \gamma_s \cdot Z] \cdot \tan \phi_s \cdot \cos^2 \theta \quad (1)$$

ここで、 $F_v$ ：パイル砂の压入率、 $\eta$ ：応力分布比、 $\phi$ ：複合地盤にかかる平均応力

$\gamma_s$ ：パイル砂の単位体積重量、 $\gamma$ ：パイル砂の内部摩擦角、 $C$ ：粘性土の

粘着力、 $\theta$ ：せん断面の水平となす角（図-1、図-2）

複合地盤の圧密過程は、バロンの理論を、それと併せて、現場実測にもとづいて実用に供しうるものとして取扱い、ほぼ妥当な結果が得られてはいると考えてよい。

しかし前者は、砂と粘性土の同じひずみの応力、後者は、砂柱への応力集中などの問題で厳密なものではなくとの理論的裏付けも検討せねばならなり問題を残している。

そこで、上述の考え方のより一層の妥当性を検討するために、つきのように考えてみた。

(1) 土性が異なるため、土の応力へひずみ関係を導入して、相異なる土性のひずみの連続性を考える。

(2) セン断変形は、土質実験データの応力へひずみ ( $\epsilon$  へ  $\delta$ ) 曲線 ( $\gamma_d$ -テスト、ロロテストなど) をそのまま用ひる。

(3) 弾性論を用ひ、 $\epsilon$  へ  $\delta$  曲線の非線形に対応させたために、弾性係数  $E$  を変数とする。

(4) 圧密は、圧密試験データの曲線を用ひ、次下の算定には、(2)のセン断変形を重ね合せる。

(5)  $\epsilon$  へ  $\delta$ 、 $\epsilon$  へ  $\gamma_d$  の土質データの取扱いは、たとえば、松尾慈氏、輕部氏の研究により、あらかじめ整合する。

(6) 計算法として有限要素法を用ひる。

(7)  $\epsilon$  へ  $\delta$ 、 $\epsilon$  へ  $\gamma_d$  関係の理論的裏付けとして、たとえば、村山氏、松岡氏他の理論式による解析を back-data とし、比較検討しておく。

(8) 以上の結果を、数多くの現場実測と比較する。

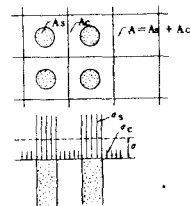


図-1 複合地盤内の応力状態



図-2 複合地盤のせん断抵抗

### 3 梱合地盤の解析例

解析例として、二次元問題（砂の圧入率の量だけの砂柱が奥行きに連続してあるものと考える）として、ある現場における実施例にもとづりて、この解析法を検討した例を示す。（いずれは、三次元的な横断面せんばならないと考えていい）

#### (1) スベリ抵抗

式(1)にもとづく円弧スベリ計算により粘性土層のスベリ抵抗値を求め、つぎに84～85曲線を整合（ここでは、併りにKondnerの双曲線式  $\phi_1 - \phi_3 = E_s / (a + bE_s)$  で近似（た）し、ボアソン比  $\nu = 0.495$ （瞬間剛性）として有限要素法で解析した結果は、併りに円弧スベリ線上の粘性土層の抵抗値と比較すれば、図-3に示すようだ。この解析法が妥当とすれば式(1)がほぼ近似できるようである。

#### (2) 沈下と側方変位

84～85のせん断変形と圧密試験の  $\sigma$  による圧密と変形を合せた解析例が、図-4、5<sup>2</sup>ある。ここに、ボアソン比は、せん断変形では、 $\nu = 0.495$ 、圧密では、 $\nu = 0.35$ と仮定した。圧密の計算では、 $\nu = 0.495$ とすると実測値に比較して小さな値となり、 $\nu$ の値が沈下が大きくなることなど、 $E$ ～ $\nu$ の関係が今後の大きな課題であることがわかった。なお参考のため、松岡氏の理論式による計算を合せて示していただきたい。

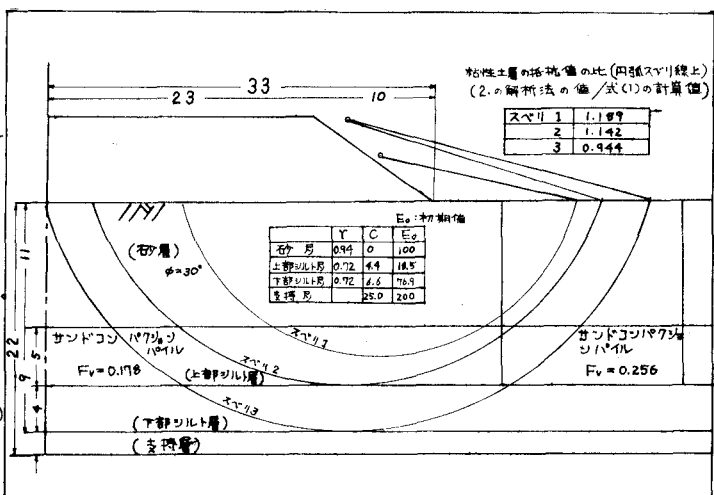


図-3 スベリ抵抗の解析例

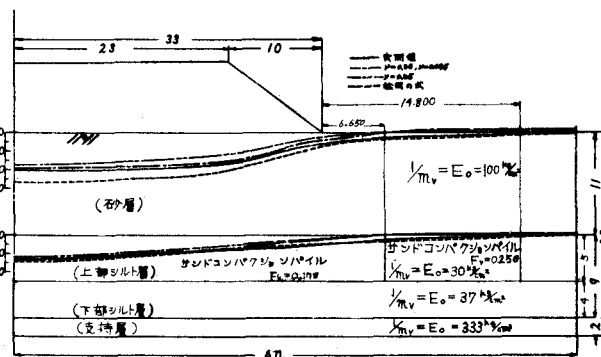


図-4 沈下量の解析例

#### 4 あとがき

本稿では、一端を示したにすぎないが、今後は、数多くの実施例とともに、この解析法が妥当なものかどうか、また式(1)が、近似的に用いてもいいかどうか、さらに検討していかねばならず、まだまだ多大の問題を残しているが、諸賢の御批判をお待ちしたい次第である。

なお、本稿につけては、関係各位の多大の御指導と御助力および助言をしていただき感謝の意を表する。紙面上、二山らの方々の氏名、および参考文献など割愛させていただくが、いずれも明記させていただかず機会をもつゝモリである。

本稿の他の連名者は、不動建設 萩下博、木野赤男である。

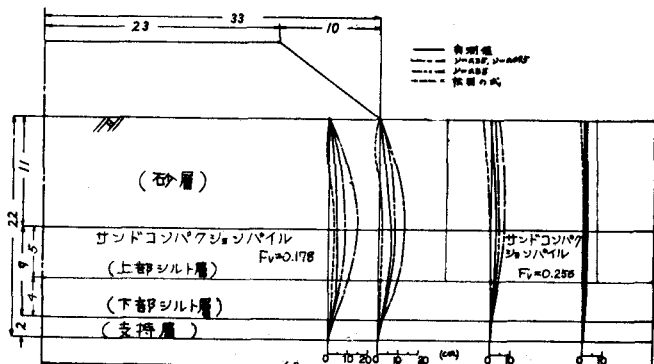


図-5 側方変位の解析例